

# Ingredientes de la vacuna COVID-19

Publicado: 31 de agosto de 2021 • Actualizado: 9 de agosto de 2023

Esta información está siendo suprimida. Comparta y descargue una copia en PDF.

## Contenido

1. [Introducción](#)
2. [Ingredientes identificados de la vacuna COVID-19](#)
3. [Ingredientes declarados de la vacuna COVID-19](#)
4. [los parásitos](#)
5. [el grafeno](#)
6. [los metales](#)
7. [Nanotecnología](#)
8. [Análisis de sangre](#)
9. [Informes de patología](#)
10. [El Informe Barbastro](#)
11. [Contaminantes en otras vacunas](#)
12. [Muertes reportadas por VAERS](#)
13. [AFM/AFP asociada a la vacuna](#)
14. [Grandes farmacéuticas y China](#)
15. [Videos relacionados](#)
16. [Materiales de referencia y lecturas adicionales](#)

---

## Introducción

El 20 de agosto de 2021, el Dr. Robert Young [publicó](#) los hallazgos de su equipo después de analizar las cuatro "vacunas" dominantes contra el COVID-19 mediante [microscopía de contraste de fase](#) , [microscopía electrónica de transmisión y barrido](#) y [espectroscopía de rayos X de dispersión de energía](#) . Sus hallazgos confirman y amplían las [investigaciones previas realizadas](#) por [el Dr. Pablo Campra](#) (Universidad de Almería, España), [el Dr. Juan F. Gastón Añaños](#) (Hospital de Barbastro, España) y las posteriores por [el Dr. Martín Monteverde](#) (Argentina) , [el Dr. Matt Shelton](#) (Nueva Zelanda), un [laboratorio británico](#) , así como el [informes patológicos de autopsias](#) de fallecidos vacunados realizadas por el Prof. Dr. Arne Burkhardt, el Prof. Dr. Walter Lang y el Prof. Dr. Peter Schirmacher (Alemania y Austria), y según lo informado [por Maria Zeee](#) (Australia).

Se observó que muchas de estas sustancias estaban unidas a óxido de grafeno y nanopartículas metálicas. Las nanopartículas de GO son [necróticas](#) , capaces de atravesar barreras fisiológicas que incluyen (pero no se limitan a) la barrera sangre-aire, la barrera sangre-testículo, la barrera sangre-cerebro y la barrera sangre-placenta. Durante un período de varios meses después de la inyección intramuscular, hasta el 75 % de la "plataforma de entrega" de nanopartículas GO y la mayoría de las sustancias que se enumeran a continuación se transportan extensamente a través del cuerpo de los

mamíferos, hacia la sangre, el cerebro y otros órganos. Algunos de los [muchos efectos tóxicos](#) del óxido de grafeno son [la miocarditis](#) y la coagulación de la sangre. La contaminación en las vacunas parece ser [tan común](#) que uno podría ser perdonado por pensar que es deliberado.

---

## Ingredientes identificados de la vacuna COVID-19

| Ingredientes identificados                    | Pfizer | AstraZeneca | Janssen | Moderna |
|---|--------|-------------|---------|---------|
| <a href="#">Aluminio (Al)</a>                 | Sí     |             |         | Sí      |
| <a href="#">Bismuto (Bi)</a>                  | Sí     |             |         |         |
| <a href="#">Cadmio (Cd)</a>                   |        |             |         | Sí      |
| <a href="#">Calcio (Ca)</a>                   |        |             |         | Sí      |
| <a href="#">Carbono (C)</a>                   | Sí     |             |         | Sí      |
| <a href="#">Cloruro (CL<sup>-</sup>)</a>      | Sí     |             |         |         |
| <a href="#">Cloro (Cl en solución salina)</a> | Sí     | Sí          | Sí      | Sí      |
| <a href="#">Cromo (Cr)</a>                    | Sí     | Sí          | Sí      |         |
| <a href="#">Cobre (Cu)</a>                    | Sí     | Sí          |         | Sí      |
| <a href="#">Óxido de grafeno</a>              | Sí     | Sí          | Sí      | Sí      |
| <a href="#">Hierro (Fe)</a>                   | Sí     | Sí          | Sí      | Sí      |
| <a href="#">Plomo (Pb)</a>                    |        |             |         | Sí      |
| <a href="#">Magnesio (Mg)</a>                 |        |             |         | Sí      |
| <a href="#">Manganeso (Mn)</a>                |        |             | Sí      |         |
| <a href="#">Níquel (Ni)</a>                   |        | Sí          | Sí      |         |
| <a href="#">Nitrógeno (N)</a>                 | Sí     |             |         | Sí      |
| <a href="#">Oxígeno (O)</a>                   | Sí     |             |         | Sí      |
| <a href="#">Fósforo (P)</a>                   | Sí     |             |         | Sí      |
| <a href="#">Potasio (K)</a>                   |        |             |         | Sí      |
| <a href="#">Selenio (Se)</a>                  |        |             |         | Sí      |
| <a href="#">Silicio (Si)</a>                  | Sí     | Sí          | Sí      | Sí      |
| <a href="#">Sodio (Na en solución salina)</a> | Sí     | Sí          | Sí      | Sí      |
| <a href="#">Azufre (S)</a>                    | Sí     | Sí          |         |         |
| <a href="#">Estaño (Sn)</a>                   |        | Sí          |         |         |

| Ingredientes identificados             | Pfizer             | AstraZeneca             | Janssen | Moderna |
|--|--------------------|-------------------------|---------|---------|
| <a href="#">Titanio (Ti)</a>           | Sí                 |                         |         | Sí      |
| <a href="#">Tripanosoma (parásito)</a> | <a href="#">Sí</a> | <a href="#">Posible</a> |         |         |
| <a href="#">Vanadio (Va)</a>           | Sí                 |                         |         |         |

Fuente: <https://www.drrobertyoung.com/post/transmission-electron-microscopy-reveals-graphene-oxide-in-cov-19-vaccines>

Estos hallazgos son positivamente consistentes con algunos de los [contenidos declarados](#) de los productos [Pfizer](#) y [Moderna](#) . Me imagino que un análisis cuantitativo adicional de los contenidos debería permitir identificar los posibles compuestos químicos que *no* han sido identificados explícitamente por los fabricantes (mediante [espectrometría de masas](#) y derivaciones de masa molar). Teniendo en cuenta el [experimento que se llevó a cabo en Kenia en 2014](#) (y más [aquí](#) ), sospecho que [la gonadotropina coriónica humana \(hCG\)](#) ( [compuesta](#) principalmente de carbono, hidrógeno, nitrógeno y oxígeno) es posiblemente uno de ellos.

El descubrimiento de [acero inoxidable](#) (y [partículas negras no identificadas](#) ) en las [vacunas de Moderna en Japón](#) puede explicar parte del hierro, carbono, nitrógeno, aluminio, silicio, titanio, cobre y/o selenio detectado en esa quimera en particular. Moderna afirma que las inclusiones de acero inoxidable fueron una contaminación accidental y se limitaron a algunos lotes fabricados por [Laboratorios Farmacéuticos Rovi](#) con sede en Madrid. El equipo del Dr. Young observó fragmentos de acero inoxidable a escala nanométrica en la vacuna [de AstraZeneca](#) y partículas agregadas de acero inoxidable en la vacuna [de Janssen](#) .

Más recientemente, están saliendo informes de Japón que revelan la presencia de [contaminantes blancos flotantes no identificados en las vacunas de Pfizer](#) , que Pfizer afirma que probablemente sean ingredientes de vacunas sin disolver. Independientemente de la composición reivindicada de los mismos, ¿son seguros los sólidos sin disolver *cuando* se inyectan en el cuerpo?

## Ingredientes declarados de la vacuna COVID-19

| Ingredientes declarados | Composición química                              | Pfizer | Moderna |
|-------------------------|--|--------|---------|
| Ingredientes activos    |  |        |         |
| ARNm común              | $C_{15} H_{31} N_3 O_{13} P_2$<br>(ADN/variable) | Sí     |         |
| ARNm-1273 ARNm          | $C_{15} H_{31} N_3 O_{13} P_2$<br>(ADN/variable) |        | Sí      |
| lípidos                 |  |        |         |

| <b>Ingredientes declarados</b>   | <b>Composición química</b>  | <b>Pfizer</b> | <b>Moderna</b> |
|--|---|---------------|----------------|
| <a href="#">colesterol</a>   | C <sub>27</sub> H <sub>46</sub> O   | Sí            | Sí             |
| <a href="#">1,2-diestearoil-sn-glicero-3-fosfocolina (DSPC)</a>                                  | C <sub>44</sub> H <sub>88</sub> NO <sub>8</sub> P   | Sí            | Sí             |
| <a href="#">((4-hidroxi-butil)azanodiol)bis(hexano-6,1-diol)bis(2-hexildecanoato) (ALC-3015)</a> | C <sub>48</sub> H <sub>95</sub> NO <sub>5</sub>   | Sí            |                |
| <a href="#">2-[(polietilenglicol)-2000]-N,N-ditetradecilacetamida (ALC-0159)</a>                 | H-(O-CH <sub>2</sub> -CH <sub>2</sub> ) <sub>n</sub> -OH  | Sí            |                |
| <a href="#">Lípido SM-102</a>  | C <sub>44</sub> H <sub>87</sub> NO <sub>5</sub>   |               | Sí             |
| <a href="#">1,2-dimiristoil-rac-glicero-3-metoxipolietilenglicol-2000 (PEG2000-DMG)</a>          | (C <sub>2</sub> H <sub>4</sub> O) <sub>n</sub><br>C <sub>32</sub> H <sub>62</sub> O <sub>5</sub> _ _ _ _<br>_ _ |               | Sí             |
| tampones   |   |               |                |
| cloruro de potasio   | KCl   | Sí            |                |
| fosfato monobásico de potasio  | KH <sub>2</sub> PO <sub>4</sub>   | Sí            |                |
| cloruro de sodio   | NaCl  | Sí            |                |
| fosfato de sodio básico dihidrato  | Na <sub>2</sub> HPO <sub>4</sub> _ _ _  | Sí            |                |
| trometamina (tris(hidroximetil)aminometano)  | C <sub>4</sub> H <sub>12</sub> N <sub>3</sub> O <sub>3</sub> _<br>_ _ _ _                                       |               | Sí             |
| clorhidrato de trometamina   | C <sub>4</sub> H <sub>11</sub> NO <sub>3</sub>  |               | Sí             |
| ácido acético  | C <sub>2</sub> H <sub>4</sub> O <sub>2</sub> _ _ _ _<br>_   |               | Sí             |
| acetato de sodio   | C <sub>2</sub> H <sub>3</sub> NaO <sub>2</sub> _ _<br>_ _ _   |               | Sí             |
| agua   | H <sub>2</sub> O _ _  | Sí            | Sí             |
| Otro   |   |               |                |
| sacarosa   | C <sub>12</sub> H <sub>22</sub> O <sub>11</sub>   | Sí            | Sí             |

Los componentes que *no* parecen haber sido declarados incluyen:

[Aluminio](#) (Al)  
[Bismuto](#) (Bi)  
[Cadmio](#) (Cd)  
[Cromo](#) (Cr)  
[Cobre](#) (Cu)  
[Hierro](#) (Fe)  
[Plomo](#) (Pb)  
[Magnesio](#) (Mg)  
[Manganeso](#) (Mn)

[Níquel](#) (Ni)  
[Selenio](#) (Se)  
[Silicio](#) (Si)  
[Azufre](#) ( S)  
[Estaño](#) (Sn)  
[Titanio](#) (Ti)  
[Vanadio](#) (V)  
[Óxido de grafeno](#) (C<sub>140</sub> H<sub>42</sub> O<sub>20</sub> )

...que incluye el parásito de la sangre, [Trypanosoma cruzi](#) ( [enfermedad de Chagas](#) ) o posiblemente [Trypanosoma brucei](#) ( [enfermedad africana del sueño](#) ), como se indica en [los informes](#) más recientes de MHRA (reproducidos a continuación) y cuatro [informes de VAERS](#) . Trypanosoma se [compone](#) de carbono, oxígeno, cromo, azufre, aluminio, cloruro y nitrógeno.

**Case Series Drug Analysis Print**

**Name: COVID-19 mRNA Pfizer- BioNTech vaccine analysis print**

Report Run Date: 26-Aug-2021      Data Lock Date: 25-Aug-2021 18:30:56  
 Earliest Reaction Date: 13-Apr-1968      MedDRA Version: MedDRA 24.0

| Reaction Name                                    | Total | Fatal |
|--|-------|-------|
| <b>Infections</b>                                |       |       |
| <i>Infections cont'd</i>                         |       |       |
| <b><i>Treponema infections</i></b>               |       |       |
| Syphilis   | 2     | 0     |
| <b><i>Trypanosomal infections</i></b>            |       |       |
| African trypanosomiasis                          | 2     | 0     |
| <b><i>Tuberculosis infections</i></b>            |       |       |
| Latent tuberculosis                              | 1     | 0     |
| Lymph node tuberculosis                          | 1     | 0     |
| Pulmonary tuberculosis                           | 1     | 0     |
| Tuberculosis                                     | 1     | 0     |
| Tuberculosis of central nervous system           | 1     | 0     |
| <b><i>Upper respiratory tract infections</i></b> |       |       |
| Acute sinusitis                                  | 4     | 0     |
| Chronic sinusitis                                | 1     | 0     |
| Croup infectious                                 | 1     | 0     |
| Epiglottitis                                     | 1     | 0     |
| Laryngitis                                       | 24    | 0     |
| Nasopharyngitis                                  | 788   | 0     |
| Peritonsillar abscess                            | 2     | 0     |
| Pharyngitis                                      | 27    | 0     |
| Rhinitis   | 36    | 0     |
| Sinusitis  | 123   | 0     |
| Tonsillitis                                      | 90    | 0     |
| Tracheitis                                       | 4     | 0     |
| Tracheostomy infection                           | 1     | 0     |
| Upper respiratory tract infection                | 6     | 0     |
| <b><i>Urinary tract infections</i></b>           |       |       |
| Cystitis   | 61    | 0     |
| Kidney infection                                 | 34    | 0     |
| Pyelonephritis                                   | 2     | 0     |
| Urinary tract infection                          | 154   | 0     |
| <b><i>Vascular infections</i></b>                |       |       |
| Haematoma infection                              | 1     | 0     |
| Infected lymphocele                              | 1     | 0     |
| Infusion site infection                          | 1     | 0     |
| Lymphangitis                                     | 7     | 0     |
| <b><i>Viral infections NEC</i></b>               |       |       |
| Arthritis viral                                  | 1     | 0     |
| Conjunctivitis viral                             | 2     | 0     |
| Encephalitis viral                               | 4     | 1     |
| Eye infection viral                              | 2     | 0     |
| Gastroenteritis viral                            | 21    | 0     |
| Hepatitis viral                                  | 2     | 0     |
| Meningitis viral                                 | 8     | 0     |
| Meningoencephalitis viral                        | 1     | 0     |
| Oral viral infection                             | 1     | 0     |
| Pleurisy viral                                   | 1     | 0     |
| Pneumonia viral                                  | 2     | 1     |
| Post viral fatigue syndrome                      | 37    | 0     |
| Sweating fever                                   | 77    | 0     |
| Vestibular neuronitis                            | 23    | 0     |
| Viral diarrhoea                                  | 2     | 0     |
| Viral infection                                  | 40    | 0     |
| Viral labyrinthitis                              | 3     | 0     |

Case Series Drug Analysis Print

Name: COVID-19 vaccine AstraZeneca analysis print

Report Run Date: 26-Aug-2021 Data Lock Date: 25-Aug-2021 18:30:56  
 Earliest Reaction Date: 03-Feb-1921 MedDRA Version: MedDRA 24.0

| Reaction Name                                   | Total | Fatal |
|---|-------|-------|
| <b>Infections</b>                               |       |       |
| Infections cont'd                               |       |       |
| Vaccination site pustule                        | 5     | 0     |
| <b>Staphylococcal Infections</b>                |       |       |
| Furuncle  | 54    | 0     |
| Staphylococcal bacteraemia                      | 2     | 0     |
| Staphylococcal infection                        | 1     | 0     |
| Staphylococcal scalded skin syndrome            | 1     | 0     |
| Staphylococcal sepsis                           | 4     | 1     |
| Toxic shock syndrome staphylococcal             | 1     | 0     |
| Vulvovaginitis staphylococcal                   | 1     | 0     |
| <b>Streptococcal Infections</b>                 |       |       |
| Cellulitis streptococcal                        | 1     | 0     |
| Erysipelas                                      | 1     | 0     |
| Meningitis pneumococcal                         | 4     | 1     |
| Pharyngitis streptococcal                       | 9     | 0     |
| Pneumonia pneumococcal                          | 1     | 0     |
| Scarlet fever                                   | 1     | 0     |
| Streptococcal infection                         | 2     | 0     |
| Tonsillitis streptococcal                       | 1     | 0     |
| <b>Tinea Infections</b>                         |       |       |
| Body tinea                                      | 8     | 0     |
| Tinea cruris                                    | 2     | 0     |
| Tinea infection                                 | 2     | 0     |
| Tinea pedis                                     | 4     | 0     |
| Tinea versicolour                               | 2     | 0     |
| <b>Treponema Infections</b>                     |       |       |
| Neurosyphilis                                   | 1     | 0     |
| Syphilis  | 3     | 0     |
| <b>Typanosomal Infections</b>                   |       |       |
| African trypanosomiasis                         | 6     | 0     |
| <b>Tuberculous Infections</b>                   |       |       |
| Disseminated Bacillus Calmette-Guerin infection | 1     | 0     |
| Erythema induratum                              | 1     | 0     |
| Latent tuberculosis                             | 1     | 0     |
| Lymph node tuberculosis                         | 3     | 0     |
| Meningitis tuberculous                          | 1     | 0     |
| Pulmonary tuberculosis                          | 2     | 0     |
| Tuberculosis                                    | 4     | 0     |
| <b>Upper respiratory tract Infections</b>       |       |       |
| Acute sinusitis                                 | 6     | 0     |
| Chronic sinusitis                               | 14    | 0     |
| Croup infectious                                | 1     | 0     |
| Epiglottitis                                    | 1     | 0     |
| Laryngitis                                      | 36    | 0     |
| Nasal vestibulitis                              | 1     | 0     |
| Nasopharyngitis                                 | 1663  | 0     |
| Pentonsillar abscess                            | 1     | 0     |
| Pharyngeal abscess                              | 1     | 0     |
| Pharyngitis                                     | 38    | 0     |
| Rhinitis  | 52    | 0     |
| Sinobronchitis                                  | 1     | 0     |
| Sinusitis                                       | 373   | 0     |
| Tonsillitis                                     | 86    | 0     |
| Tracheitis                                      | 2     | 0     |

Report Run Date: 26-Aug-2021, Page 44

Case Series Drug Analysis Print

Name: COVID-19 vaccine brand unspecified analysis print

Report Run Date: 26-Aug-2021 Data Lock Date: 25-Aug-2021 18:30:56  
 Earliest Reaction Date: 06-Feb-2020 MedDRA Version: MedDRA 24.0

| Reaction Name  | Total     | Fatal    |
|--|-----------|----------|
| <b>Infections</b>                                      |           |          |
| <b>Abdominal and gastrointestinal Infections</b>       |           |          |
| Appendicitis   | 1         | 0        |
| <b>Bacterial Infections NEC</b>                        |           |          |
| Arthritis bacterial                                    | 1         | 0        |
| <b>Breast Infections</b>                               |           |          |
| Mastitis   | 1         | 0        |
| <b>Caliciviral Infections</b>                          |           |          |
| Norovirus infection                                    | 1         | 0        |
| <b>Central nervous system and spinal Infections</b>    |           |          |
| Encephalitis   | 1         | 0        |
| Meningitis aseptic                                     | 1         | 0        |
| <b>Coronavirus Infections</b>                          |           |          |
| COVID-19   | 16        | 0        |
| Suspected COVID-19                                     | 1         | 0        |
| <b>Eye and eyelid Infections</b>                       |           |          |
| Eye infection  | 1         | 0        |
| <b>Fungal Infections NEC</b>                           |           |          |
| Fungal infection                                       | 1         | 0        |
| <b>Herpes viral Infections</b>                         |           |          |
| Genital herpes   | 2         | 0        |
| Herpes zoster  | 9         | 0        |
| Oral herpes  | 2         | 0        |
| <b>Infections NEC</b>                                  |           |          |
| Infection  | 5         | 0        |
| Localised infection                                    | 1         | 0        |
| <b>Infectious transmissions</b>                        |           |          |
| Vaccine virus shedding                                 | 1         | 0        |
| <b>Influenza viral Infections</b>                      |           |          |
| Influenza  | 13        | 0        |
| <b>Lower respiratory tract and lung Infections</b>     |           |          |
| Lower respiratory tract infection                      | 3         | 1        |
| Pneumonia  | 5         | 3        |
| <b>Mumps viral Infections</b>                          |           |          |
| Mumps  | 1         | 0        |
| <b>Sepsis, bacteraemia, viraemia and fungaemia NEC</b> |           |          |
| Sepsis   | 1         | 0        |
| <b>Staphylococcal Infections</b>                       |           |          |
| Furuncle   | 1         | 0        |
| <b>Typanosomal Infections</b>                          |           |          |
| African trypanosomiasis                                | 1         | 0        |
| <b>Upper respiratory tract Infections</b>              |           |          |
| Nasopharyngitis  | 8         | 0        |
| Sinusitis  | 1         | 0        |
| Tonsillitis  | 1         | 0        |
| <b>Urinary tract Infections</b>                        |           |          |
| Kidney infection                                       | 2         | 0        |
| Urinary tract infection                                | 3         | 0        |
| <b>Viral Infections NEC</b>                            |           |          |
| Gastroenteritis viral                                  | 1         | 0        |
| Sweating fever   | 1         | 0        |
| Viral infection  | 2         | 0        |
| <b>Infections SOG TOTAL</b>                            | <b>89</b> | <b>4</b> |

Report Run Date: 26-Aug-2021, Page 14

Details for VAERS ID: 1382321-1

| Event Information              |            |                              |                  |
|--------------------------------|------------|------------------------------|------------------|
| <b>Patient Age</b>             | 61.00      | <b>Sex</b>                   | Female           |
| <b>State / Territory</b>       | Missouri   | <b>Date Report Completed</b> | 2021-06-08       |
| <b>Date Vaccinated</b>         | 2021-01-08 | <b>Date Report Received</b>  | 2021-06-08       |
| <b>Date of Onset</b>           | 2021-02-05 | <b>Date Died</b>             |                  |
| <b>Days to onset</b>           | 28         |                              |                  |
| <b>Vaccine Administered By</b> | Work *     | <b>Vaccine Purchased By</b>  | Not Applicable * |
| <b>Mfr/Imm Project Number</b>  | vsafe      | <b>Report Form Version</b>   | 2                |
| <b>Recovered</b>               | Yes        | <b>Serious</b>               | No               |

\* VAERS 2.0 Report Form Only

\*\* VAERS-1 Report Form Only

"Not Applicable" will appear when information is not available on this report form version.

| Event Categories                           |      |
|--|------|
| <b>Death</b>                               | No   |
| <b>Life Threatening</b>                    | No   |
| <b>Permanent Disability</b>                | No   |
| <b>Congenital Anomaly / Birth Defect *</b> | No   |
| <b>Hospitalized</b>                        | No   |
| <b>Days in Hospital</b>                    | None |
| <b>Existing Hospitalization Prolonged</b>  | No   |
| <b>Emergency Room / Office Visit **</b>    | N/A  |
| <b>Emergency Room *</b>                    | No   |
| <b>Office Visit *</b>                      | Yes  |

\* VAERS 2.0 Report Form Only

\*\* VAERS-1 Report Form Only

"N/A" will appear when information is not available on this report form version.

| Vaccine Type    | Vaccine                             | Manufacturer    | Lot    | Dose | Route | Site |
|-----------------|-------------------------------------|-----------------|--------|------|-------|------|
| COVID19 VACCINE | COVID19 (COVID19 (PFIZER-BIONTECH)) | PFIZER\BIONTECH | EL1284 | 2    | IM    | RA   |

| Symptom           |
|-------------------|
| ANTIBODY TEST     |
| BLOOD TEST        |
| UNEVALUABLE EVENT |

| Adverse Event Description  |
|--|
| <p>Back in Dec before my 1st shot 12/18/20, I donated blood, confirmed my blood was good and sent to the hospital. Then I got my second shot 1/8/21 and a little bit after that I donated blood again (02/05/2021), this time sent a letter that my blood tested positive for <a href="#">Trypanosoma Cruzi</a> and that they can?t use my blood and that I should see my Doc. I went to see my Infectious Disease 4/8/21 Doctor and he did all the tests and they came back negative. He said I didn?t have anything and he thinks it was a reaction from the vaccine that caused the antibodies test to be positive.</p> |

| VAERS ID ↓                | Vaccine Manufacturer | Symptoms                | Adverse Event Description ↑↓   |
|---------------------------|----------------------|-------------------------|--|
| <a href="#">0961987-1</a> | PFIZER\BIONTECH      | AFRICAN TRYPANOSOMIASIS | "very tired; had the feeling of acid in my mouth; 1-month-old female patient received; Sleeping sickness; Vomiting; Feeling unwell/being sick and feeling sick/still feel ickey; This is a spontaneous report. A contactable healthcare professional reported that a 1-month-old female patient received BNT162B2 (PFIZER-BIONTECH COVID-19 VACCINE, lot number: EE8493), via an unspecified route of administration on 10Jan2021 at single dose for COVID-19 immunisation. The patient medical history was not reported. Concomitant medication included diazepam (DIAZEPAN) for anxiety, lithium for bipolar disorder and zopiclone for sleep loss. The patient stated on 10Jan2021, ""a few hours after the jab I started feeling unwell and had the feeling of acid in my mouth about 4 hrs later I was being sick and feeling sick, this went on and off till the following day, stopped being sick at around 11: 30 pm on the 11th, but continued to feel sick and still do now, however I'm able to work just taking my time, I am very tired and still feel ickey"". Vomiting and sleeping sickness was also reported on 10Jan2021. Patient has not tested positive for COVID-19 since having the vaccine. Patient has not had symptoms associated with COVID-19. Patient is not enrolled in clinical trial. The outcome of ""feeling unwell/being sick and feeling sick/still feel ickey"" was not recovered, vomiting was recovering and other events was unknown. No follow-up attempts are possible. No further information expected."   |
| <a href="#">1250350-1</a> | PFIZER\BIONTECH      | AFRICAN TRYPANOSOMIASIS | Mild fever Sleeping; stomach cramps; nausea; Mild fever Sleeping; Diarrhoea; This is a spontaneous report from a contactable other hcp received from the Regulatory Authority. The regulatory authority report number is GB-MHRA-WEBCOVID-202101291156382120, Safety Report Unique Identifier GB-MHRA-ADR 24666319. A 45-year-old female patient received BNT162B2 (PFIZER-BIONTECH COVID-19 VACCINE, Solution for injection, Lot Number: ee8492), via an unspecified route of administration on 31Dec2020 at single dose for COVID-19 immunization. Medical history included multiple sclerosis for which she was taking unspecified medicines, lymphopenia from an unknown date and unknown if ongoing. Also taking Gabapentin and high dose Vitamin D. Patient has not had symptoms associated with COVID-19. Not had a COVID-19 test. Patient was not enrolled in clinical trial. Concomitant medications included dimethyl fumarate (TECFIDERA) taken for multiple sclerosis from 31Dec2020 to an unspecified stop date; gabapentin taken for an unspecified indication, vitamin D NOS taken for an unspecified indication. On an unspecified date, the patient experienced stomach cramps, nausea, mild fever sleeping, mild fever sleeping and diarrhoea on 01Jan2021. As per the case narrative, unable to keep warm (24hrs post vaccine) mild fever sleeping nausea and stomach cramps (36hrs post vaccine). Patient has not tested positive for COVID-19 since having the vaccine. The Outcome of the event diarrhoea was recovered and rest events outcome was unknown. No follow-up attempts are possible. No further information is expected. |
| <a href="#">1538592-1</a> | PFIZER\BIONTECH      | AFRICAN TRYPANOSOMIASIS | Sleeping sickness; Fever; Sleep unwell; Rash; Headache; This is a spontaneous report from a contactable consumer received from the regulatory authority report number is GB-MHRA-WEBCOVID-202107261536104970-67TJQ, Safety Report Unique Identifier GB-MHRA-ADR 25708411. A 30-year-old female patient received first dose of BNT162B2 (PFIZER-BIONTECH COVID-19 VACCINE), via an unspecified route of administration at single dose on 16Jul2021 for COVID-19 immunisation. Medical history included lactation decreased, suspected COVID-19 (unsure when symptoms started and unsure when symptoms stopped), immunodeficiency (had an illness or condition, not listed above, which reduces the immune response). Patient had not had a COVID-19 test. Patient was not pregnant and was not currently breastfeeding. Patient was not enrolled in clinical trial. The patient's concomitant medications were not reported. The patient experienced sleeping sickness, fever, sleep unwell, rash and headache on 18Jul2021. The case was reported as serious (medically significant). Outcome of fever was recovered with sequel on 22Jul2021, of sleep unwell was recovered on 22Jul2021, of rash was not recovered, of sleeping sickness and headache was recovered on 24Jul2021. Patient had not tested positive for COVID-19 since having the vaccine. No follow-up attempts are possible, Information about lot/batch number cannot be obtained. No further information is expected.  |

## los parásitos

El rango de temperatura recomendado para el almacenamiento y transporte de la quimera de Pfizer es de -70°C±10°C y el tiempo máximo de almacenamiento a temperatura ambiente indicado es de no más de 6 horas .

Fuente: [https://www.pfizer.com/news/hot-topics/covid\\_19\\_vaccine\\_u\\_s\\_distribution\\_fact\\_sheet](https://www.pfizer.com/news/hot-topics/covid_19_vaccine_u_s_distribution_fact_sheet)

Fuente: <https://www.cdc.gov/vaccines/covid-19/info-by-product/pfizer/downloads/storage-summary.pdf>



Las muestras de tripanosoma se conservan criogénicamente para su almacenamiento y transporte en el laboratorio en un rango de temperatura de [-80 °C a -60 °C](#) y parecen permanecer viables a temperatura ambiente hasta por [6 horas](#) .

Fuente: <https://www.intechopen.com/chapters/52895>

Fuente: [https://www.researchgate.net/publication/285417680\\_DURATION\\_OF\\_STORAGE\\_AND\\_TEMPERATURE\\_ON\\_THE\\_VIABILITY\\_AND\\_INFECTIVITY\\_OF\\_TRYPANOSOMA\\_BRUCEI...](https://www.researchgate.net/publication/285417680_DURATION_OF_STORAGE_AND_TEMPERATURE_ON_THE_VIABILITY_AND_INFECTIVITY_OF_TRYPANOSOMA_BRUCEI...)

Los principales medios de comunicación han estado promocionando [historias](#) sobre posibles brotes de la enfermedad de Chagas (Trypanosoma cruzi) durante varios meses.

“Texas ahora está involucrado en un gran conflicto con Covid-19. Sin embargo, no será la única enfermedad que deberá enfrentar el estado en 2021. El estado también enfrenta un posible brote de la enfermedad de Chagas”.

Fuente: <https://www.natureworldnews.com/articles/47211/20210825/chagas-disease-texas-faces-new-deadly-outbreak-amidst-covid-pandemic.htm>

Ha habido algunos informes recientes en los medios sobre [el veneno de serpiente](#) como posible fuente de compuestos para tratar "COVID". Hay una investigación similar que analiza [el veneno de escorpión](#) como tratamiento para Chagas. Esto tiene sentido si estamos tratando con un parásito vivo, contra el cual estas [enzimas complejas](#) son efectivas.

[fuente](#)

# Like Venom Coursing Through the Body: Researchers Identify Mechanism Driving COVID-19 Mortality

Researchers have identified what may be the key molecular mechanism responsible for COVID-19 mortality – an enzyme related to **neurotoxins found in rattlesnake venom**.

By Rosemary Brandt, College of Agriculture and Life Sciences

Aug. 24, 2021

[f Share](#)

[Tweet](#)

[in Share](#)




[Email](#)

[Print](#)



*fuate*

# REVISED Toxin-like peptides in plasma, urine and faecal samples from COVID-19 patients [version 2; peer review: 2 approved]

Carlo Brogna <sup>1\*</sup>, Simone Cristoni<sup>2\*</sup>, Mauro Petrillo <sup>3\*</sup>, Maddalena Querci<sup>3</sup>, Ornella Piazza <sup>4</sup>, Guy Van den Eede<sup>5</sup>

<sup>1</sup>Craniomed group srl, Montemiletto, 83038, Italy

<sup>2</sup>ISB Ion Source & Biotechnologies srl, Italy, Bresso, Milano, 20091, Italy

<sup>3</sup>European Commission, Joint Research Centre (JRC), Ispra, 21027, Italy

<sup>4</sup>Department of Medicine and Surgery, University of Salerno, Baronissi, 84081, Italy

<sup>5</sup>European Commission, Joint Research Centre (JRC), Geel, 2440, Belgium

\* Equal contributors

**V2** First published: 08 Jul 2021, 10:550  
<https://doi.org/10.12688/f1000research.54306.1>



Latest published: 14 Oct 2021, 10:550  
<https://doi.org/10.12688/f1000research.54306.2>

## Abstract

**Background:** SARS-CoV-2 that causes COVID-19 disease and led to the pandemic currently affecting the world has been broadly investigated. Different studies have been performed to understand the infection mechanism, and the involved human genes, transcripts and proteins. In parallel, numerous clinical extra-pulmonary manifestations co-occurring with COVID-19 disease have been reported and evidence of their severity and persistence is increasing. Whether these manifestations are linked to other disorders co-occurring with SARS-CoV-2 infection, is under discussion. In this work, we report the identification of toxin-like peptides in COVID-19 patients by application of the Liquid Chromatography Surface-Activated Chemical Ionization – Cloud Ion Mobility Mass Spectrometry.

**Methods:** Plasma, urine and faecal samples from COVID-19 patients and control individuals were analysed to study peptidomic toxins' profiles. Protein precipitation preparation procedure was used for plasma, to remove high molecular weight proteins and efficiently solubilize the peptide fraction; in the case of faeces and urine, direct peptide solubilization was employed.

## Open Peer Review

Reviewer Status  

### Invited Reviewers

|   | 1  | 2  |
|---|--|--|
| <b>version 2</b><br>(revision)<br>14 Oct 2021 | <br>report  | <br>report  |
| <b>version 1</b><br>08 Jul 2021               | <br><br>report | <br><br>report |

1. **Paolo Grumati**, Telethon Institute of Genetics and Medicine (TIGEM), Pozzuoli, Italy
2. **Moshe Arditi**, Cedars-Sinai Medical Center, Los Angeles, USA

Any reports and responses or comments on the article can be found at the end of the article.

## fuelle

El Dr. Brian Ardis concedió esta entrevista a Stew Peters el 11 de abril de 2022, en la que describe los numerosos vínculos entre la COVID, el veneno de serpiente, el remdesivir, las "vacunas" y las terapias prohibidas.

Esto también puede explicar la eficacia del fármaco antiparasitario Ivermectina, que ha demostrado resultados prometedores como posible tratamiento tanto para [Trypanosoma brucei](#) como para [Trypanosoma cruzi](#).

La Clínica Mayo enumera [los síntomas](#) de la enfermedad de Chagas (T. cruzi) como hinchazón en el sitio de la infección\*, *fiebre* \*, *fatiga* \*, *sarpullido* \*, *dolor de cuerpo* \*, *hinchazón de los párpados* , *dolor de cabeza* \*, pérdida de apetito, *náuseas* \*, *diarrea* o *vómitos* \*, glándulas inflamadas, agrandamiento de su hígado o bazo, latidos cardíacos irregulares\*, insuficiencia cardíaca, paro cardíaco repentino, *dificultad para tragar* \* debido al esófago agrandado y dolor de estómago o estreñimiento debido al colon agrandado.

La Organización Mundial de la Salud describe los [síntomas](#) de la enfermedad del sueño africana (T. brucei) como *fiebre* \*, *dolores de cabeza* \*, ganglios linfáticos agrandados,

*dolores en las articulaciones* \*, *pica*zón, *cambios de comportamiento* , *confusión* , *alteraciones sensoriales* \*, mala coordinación\* y *alteración del ciclo de sueño*

Los síntomas anteriores que son consistentes con los de "COVID-19" (según lo publicado por los [CDC](#) y [la OMS](#) ) están en *cursiva* . Los marcados con un asterisco (\*) están enumerados por el [NICD](#) como posibles efectos secundarios de la "vacuna" COVID-19.

La infección por tripanosomiasis americana (T. cruzi) trae consigo un riesgo de mortalidad por todas las causas [2,3 veces mayor en comparación con individuos no infectados](#). Sin tratamiento, la tripanosomiasis africana (T. brucei) es [invariablemente mortal](#) , con un deterioro mental progresivo que conduce al coma, la insuficiencia orgánica sistémica y la muerte.

La evidencia visual de [múltiples fuentes indica](#) lo que parece ser [Hydra vulgaris](#) en algunas de las vacunas. Cualquiera puede adivinar por qué [estos pólipos de agua dulce](#) podrían estar allí.

## WORLD PREMIERE: WATCH THE WATER FULL MOVIE

<https://rumble.com/v10miez-world-premiere-watch-the-water.html>

### ACTUALIZACIÓN 9 agosto, 2023:

En los 30 años completos que existió la base de datos VAERS antes de COVID, solo hubo 2 informes de tripanosomiasis (enfermedad africana del sueño) después de la vacunación. **Tres años después *ahora tenemos 18* . Este es un asombroso aumento de 120 veces (12,000%) en la frecuencia de informes con respecto a años anteriores. 2 de los 16 informes relacionados con la vacuna COVID incluyen diagnósticos confirmados de miocarditis.**

| Vaccine Type ↓  | Symptoms                 | → Events Reported ↑↓ | ← Percent (of 18) ↑↓ |
|---|--------------------------|----------------------|----------------------|
| COVID19 VACCINE (COVID19)                               | AFRICAN TRYPANOSOMIASIS  | 13                   | 72.22%               |
|   | AMERICAN TRYPANOSOMIASIS | 3                    | 16.67%               |
|   | <b>Total</b>             | <b>16</b>            | <b>88.89%</b>        |
| INFLUENZA VIRUS VACCINE, NO BRAND NAME (FLUX(SEASONAL)) | AFRICAN TRYPANOSOMIASIS  | 1                    | 5.56%                |
|   | <b>Total</b>             | <b>1</b>             | <b>5.56%</b>         |
| UNKNOWN VACCINES (UNK)                                  | AMERICAN TRYPANOSOMIASIS | 1                    | 5.56%                |
|   | <b>Total</b>             | <b>1</b>             | <b>5.56%</b>         |
| <b>Total</b>  |                          | <b>18</b>            | <b>100.00%</b>       |

<https://wonder.cdc.gov/controller/saved/D8/D351F944>

## el grafeno

Este video se [publicó por primera vez](#) el 26 de noviembre de 2021. Fue arrestado durante [otra transmisión en vivo](#) aproximadamente un año antes. Su esposa [anunció](#) su muerte el 28 de noviembre, aparentemente debido a problemas respiratorios. El difunto Dr. Andreas Noack..

<https://rumble.com/vq0iiv-dr.-andreas-noack-graphene-razor-blades-found-in-the-covid-bio-weapon.html>

Existe al menos [un documento](#) que defiende la utilidad del óxido de grafeno como "portador de vacunas y adyuvante", y [una patente](#) para estas [quimeras iatrogénicas](#) . Presentado en septiembre de 2020:

### Nano coronavirus recombinant vaccine taking graphene oxide as carrier


#### Abstract

The invention belongs to the field of nano materials and biomedicine, and relates to a vaccine, in particular to development of 2019-nCoV coronavirus nuclear recombinant nano vaccine. The invention also comprises a preparation method of the vaccine and application of the vaccine in animal experiments. The new corona vaccine contains graphene oxide, carnosine, CpG and new corona virus RBD; binding carnosine, CpG and neocoronavirus RBD on the backbone of graphene oxide; the CpG coding sequence is shown as SEQ ID NO 1; the novel coronavirus RBD refers to a novel coronavirus protein receptor binding region which can generate a high-titer specific antibody aiming at the RBD in a mouse body, and provides a strong support for prevention and treatment of the novel coronavirus.

CN112220919A

China

 Download PDF

 Find Prior Art  Similar

Other languages: [Chinese](#)

Inventor: [崔大祥](#), [高昂](#), [梁辉](#), [田静](#), [李雪玲](#), [沈琦](#)

Current Assignee : [Shanghai National Engineering Research Center for Nanotechnology Co Ltd](#)

## los metales

La mayoría de los metales exhiben algún tipo de toxicidad cuando se inyectan, pero el potencial de daño aumenta exponencialmente cuando un cuerpo humano, que contiene nanopartículas magnéticas o [diamagnéticas](#) , se coloca en el [poderoso campo](#) producido por un equipo de resonancia magnética.

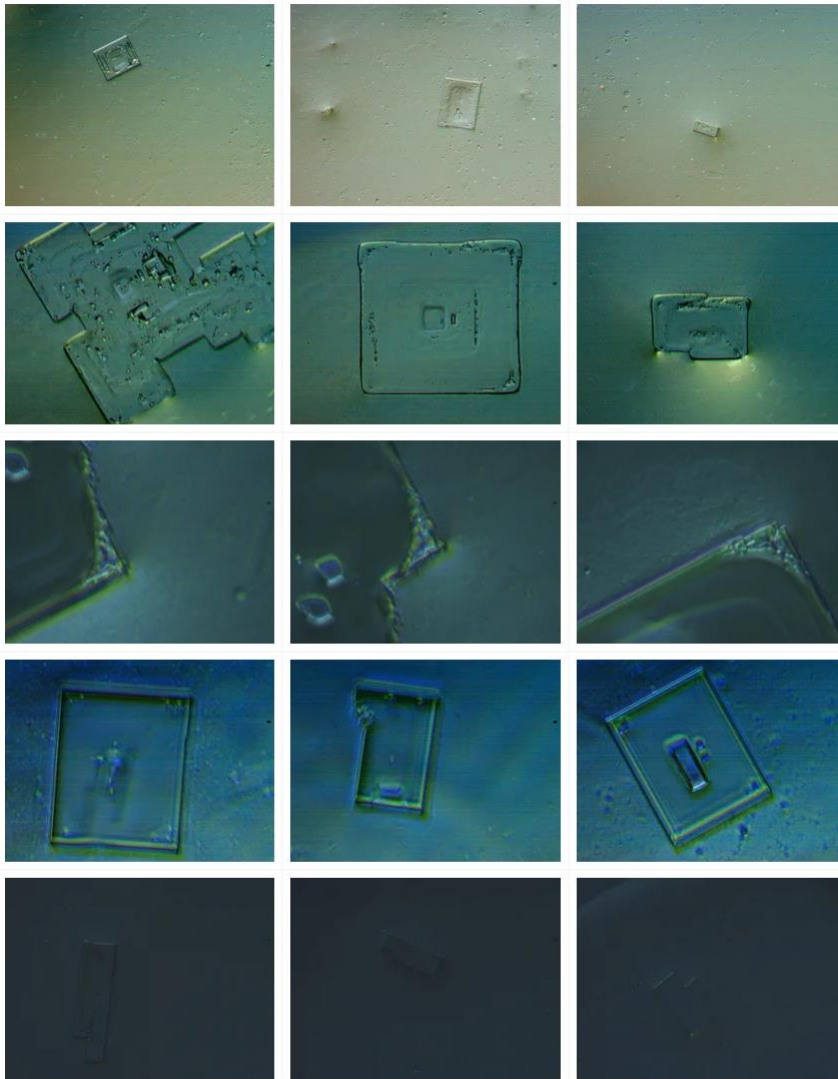
ADVERTENCIA URGENTE.

Creemos que las resonancias magnéticas están causando lesiones graves, incluida la parálisis, en pacientes vacunados con Covid-19. Los pacientes muestran signos claros de tener partículas magnetizadas dentro de ellos después de la vacunación.

La hipótesis es que las nanopartículas de lípidos magnetizadas dentro del paciente migran bajo los enormes campos magnéticos utilizados en una resonancia magnética y causan daños a nanoescala equivalentes a múltiples heridas de metralla.

## Nanotecnología

La Quinta Columna ha [observado y documentado](#) lo que parecen dispositivos digitales a escala nanométrica, posiblemente transceptores inalámbricos bluetooth, en la quimera de Pfizer Comirnaty. Estos pueden ser parte de un sistema [de interfaz cerebro-máquina-cuerpo](#) que involucra grafeno, nanoenrutadores inalámbricos y un dispositivo externo de campo cercano, como un teléfono inteligente.



## Análisis de sangre

El siguiente informe se publicó el 12 de agosto de 2022:

**RESUMEN** : El uso del análisis microscópico de campo oscuro de sangre periférica fresca en un portaobjetos estuvo muy extendido en medicina, lo que permitió una

primera e inmediata evaluación del estado de salud de los componentes corpusculares de la sangre. En el presente estudio analizamos con un microscopio óptico de campo oscuro la gota de sangre periférica de 1.006 sujetos sintomáticos después de la inoculación con una inyección de ARNm (Pfizer/BioNTech o Moderna), a partir de marzo de 2021. Hubo 948 sujetos (94% del **total muestra** ) cuya sangre mostró agregación de eritrocitos y la presencia de **partículas de varias formas y tamaños de origen incierto** un mes después de la inoculación del ARNm. En 12 sujetos, se examinó la sangre con el mismo método antes de la vacunación, mostrando una distribución hematológica perfectamente normal. Las alteraciones encontradas tras la inoculación de las inyecciones de ARNm refuerzan aún más la sospecha de que **las modificaciones se debieron a las propias llamadas “vacunas”** . Presentamos 4 casos clínicos, elegidos como representativos de toda la serie de casos. Se necesitan más estudios para definir la naturaleza exacta de las partículas que se encuentran en la sangre e identificar posibles soluciones a los problemas que evidentemente están causando.

Fuente: <https://ijvtp.com/index.php/IJVTPR/article/view/47/80>

Una selección de los cientos de imágenes de microscopía publicadas con este informe:

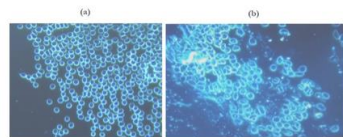


Figure 1. These photos are at 40x magnification. At the left side, (a) shows the blood condition of the patient before the inoculation. The right side image, (b) shows the same patient's blood one month after the first dose of Pfizer mRNA "vaccine". Particles can be seen among the red blood cells which are strongly aggregated around the aggregate particles. The aggregation is similar to that of a mixture of iron powder particles, showing the normal cellular distribution of substances as on the left. The red blood cells at the right (b) are no longer spherical and are clumping in an irregular and clotted

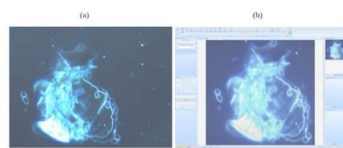


Figure 6. The smaller and larger image on the left seem to suggest the presence of the exogenous particles introduced into the blood of mRNA injection recipient in multiple dimensional view structure as can be seen in both (a) and (b) at 120x magnification evidence of what appear to be linear configurations similar to aggregations occurring in a field of loose pulling spherical particles in the plasma together. The relative bulk of the particle configuration can be easily estimated by comparison with the erythrocytes at the periphery of the much larger mass. It was also measured accurately at 133.7µm by 130µm from the hands using open lines by using the X-axis between as shown in the complete screen shot at the right.

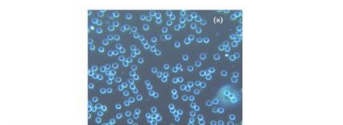


Figure 10. (a) The photos at the top and center shows the patient's blood condition at 40x magnification before the first mRNA inoculation. The image on the right (c) at 120x magnification, (b) and right at the bottom of the figure, shows a substantial agglomeration (measured at 325.14µm by 137.77µm with the DigiLab software) five weeks after vaccination. Are these needle-sharp graphene particles?



Figure 16. This image at 40x magnification, is extremely representative of the "O-shaped" clots, with aggregated and "broken markings" of red blood cells.

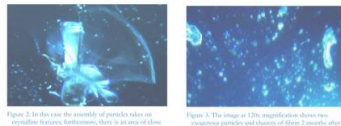


Figure 2. In this case the assembly of particles into an irregular, fibrous, fibrous, there is an oval of thin, fibrous, linearly wings, in the center of which a crystalline type aggregation occurs.

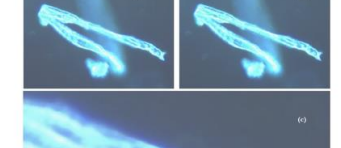


Figure 3. A highly structured fibrous tubular configuration of structures that can combine together, reaching dimensions that range from 100 nm to 10 µm and (b) at 40x magnification, or see the structure appears to be a linear filament. At (c), at 120x magnification (by magnification digitally produced), there is a complex which is 166.54 µm (DigiLab Software) in length.



Figure 5. The image at 120x magnification shows two irregular particles and clusters of fibers 2 months after vaccination.

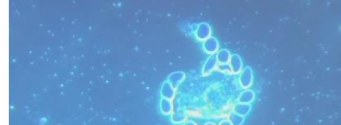


Figure 28. This photograph at 40x magnification highlights the interface of the intersection between red cells and what is presumably a graphene particle.

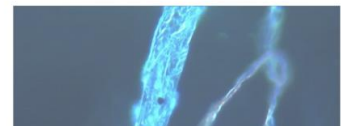


Figure 4. This image at 120x magnification (by magnification digitally produced) highlights a typical self-aggregating structuring in fibrous/tubular mode.

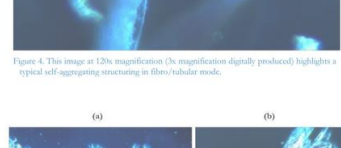


Figure 8. (a) Deformation and erythrocyte aggregation with signs of hemolysis at 40x magnification. (b) A foreign cylindrical tubular structure at 120x magnification.

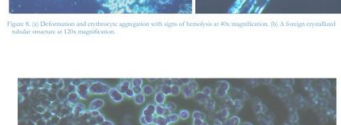


Figure 14. This image at 40x magnification, is extremely representative of the "O-shaped" clots, with aggregated and "broken markings" of red blood cells.

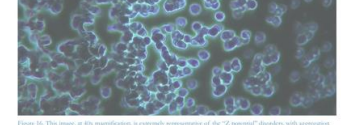


Figure 16. This image at 40x magnification, is extremely representative of the "O-shaped" clots, with aggregated and "broken markings" of red blood cells.

## Informes de patología

Se han encontrado más confirmaciones de metales y una gran cantidad de contaminantes no identificados tanto en las vacunas como en la sangre y los órganos de pacientes y cadáveres vacunados en Alemania y Austria. Una red cada vez mayor de docenas (posiblemente cientos) de médicos y patólogos está comenzando a llevar a cabo de forma independiente la investigación de farmacovigilancia que los fabricantes de vacunas y los gobiernos han descuidado (criminalmente):

El lunes 20 de septiembre de 2021, en el instituto patológico de Reutlingen, se presentaron los resultados de las autopsias de ocho personas que fallecieron después de la vacunación contra el COVID19. Los análisis de tejido fino fueron realizados por los patólogos Prof. Dr. Arne Burkhardt y Prof. Dr. Walter Lang. Los hallazgos confirman el hallazgo del Prof. Dr. Peter Schirmacher de que, entre más de 40 cadáveres a los que realizó la autopsia que habían muerto dentro de las dos semanas posteriores a la vacunación con COVID19, aproximadamente un tercio de esas muertes fueron causadas por la vacunación. Los detalles microscópicos de los cambios en los tejidos se mostraron durante la conferencia de prensa transmitida en vivo. El Prof. Dr. Werner Bergholz informará sobre los parámetros actuales del registro estadístico de eventos de vacunación.

La conferencia de prensa también presentó los resultados del análisis de muestras de la vacuna COVID-19 por parte de un grupo de investigación austriaco, que son consistentes con los hallazgos de científicos de Japón y EE. UU. En la vacuna se encontraron componentes que contenían metales no declarados. Visualmente, los elementos de la vacuna destacan por su forma inusual.

Los resultados de la investigación han dado lugar a demandas legales y políticas, por ejemplo, para la recopilación inmediata de información por parte de las autoridades para poder evaluar el riesgo para la salud que representan para la población las vacunas contra el COVID-19. Por ejemplo, las señales tempranas de problemas de fertilidad en individuos vacunados pueden examinarse consultando los registros de FIV. A través del registro de cáncer, se puede obtener información sobre el desarrollo del cáncer debido a las modificaciones genéticas del ARN viral.

Se debe considerar la suspensión de la vacunación contra el COVID-19.

Fuente: <https://pathologie-konferenz.de/en/>

Video: <https://rumble.com/vmxiwd-covid-19-vaccines-undeclared-ingredients-german.html> (con subtítulos en inglés mal traducidos por máquina solo en este momento).

[Esta publicación](#) en minds.com parece describir algunas de las estructuras que fueron observadas e informadas por los investigadores alemanes y austriacos. Minds eliminó la cuenta de usuario que lo publicó a los pocos minutos de mi voto positivo en la publicación. La publicación original también parece haber sido eliminada del grupo de Telegram [t.me/covid\\_vaccine\\_injuries](https://t.me/covid_vaccine_injuries).



# The Trump Vaccine

<https://rumble.com/embed/v1ey0fo/?pub=4>

## El Informe Barbastro

[El informe](#) de farmacovigilancia del Hospital de Barbastro reveló una incidencia estadísticamente significativa de muertes por “COVID” en pacientes que habían recibido la vacuna antigripal Chiromas®. Una investigación más amplia de los registros médicos confirmó esta tendencia, lo que llevó a la conclusión de que las vacunas eran "iatrogénicas" y fueron un factor importante que contribuyó a las muertes atribuidas a COVID-19. También notaron que el componente iatrogénico de la inyección contra la gripe Chiromas® posiblemente estaba asociado con el componente polisorbato 80 que se usa como un [tensioactivo no iónico para las nanopartículas de óxido de grafeno](#) en suspensión.

“...los 20 fallecidos en el Sector eran todos mayores de 65 años. De ellos, 17 tenían registrada la administración de la vacuna y su lote por Atención Primaria, y de los otros 3 no hay constancia. Por lo tanto, los vacunados contra la influenza representarían al menos el 85% del número total de muertes”.

“...la tasa de mortalidad en los vacunados registrados es cuatro veces la de los no vacunados, en una muestra ya significativa de 94 individuos”.

[El Informe Barbastro](#)

---

## Contaminantes en otras vacunas

Antonietta M Gatti, del Consejo Nacional de Investigación de Italia, elaboró un informe en 2016 que detallaba sus análisis de 44 vacunas diferentes utilizando un microscopio electrónico de barrido ambiental equipado con una microsonda de rayos X. Catalogaron contaminantes no declarados y nanopartículas en 43 de los 44 productos probados.

“Los análisis realizados muestran que en todas las muestras comprobadas las vacunas contienen cuerpos extraños no biocompatibles y biopersistentes no declarados por los Productores, contra los cuales el organismo reacciona en todo caso. Esta nueva investigación representa un nuevo control de calidad que se puede adoptar para evaluar la seguridad de una vacuna. Nuestra hipótesis es que esta contaminación no es intencional, ya que probablemente se deba a componentes o procedimientos contaminados de procesos industriales (por ejemplo, filtraciones) utilizados para producir vacunas...”

“La cantidad de cuerpos extraños detectados y, en algunos casos, sus composiciones químicas inusuales nos desconcertaron. Las partículas inorgánicas identificadas no son biocompatibles ni biodegradables, lo que significa que son biopersistentes y pueden inducir efectos que pueden hacerse evidentes inmediatamente cerca del momento de la inyección o después de un cierto tiempo desde la administración. Es importante recordar que las partículas (cristales y no moléculas) son cuerpos extraños al organismo y se comportan como tales. Más en particular, su toxicidad es en algunos aspectos diferente

de la de los elementos químicos que los componen, lo que se suma a esa toxicidad... inducen una reacción inflamatoria”.

Fuente: <https://blog.nomorefakenews.com/2021/09/15/metal-particles-in-many-vaccines-but-dont-worry-line-up-and-take-your-shots/>

## Results

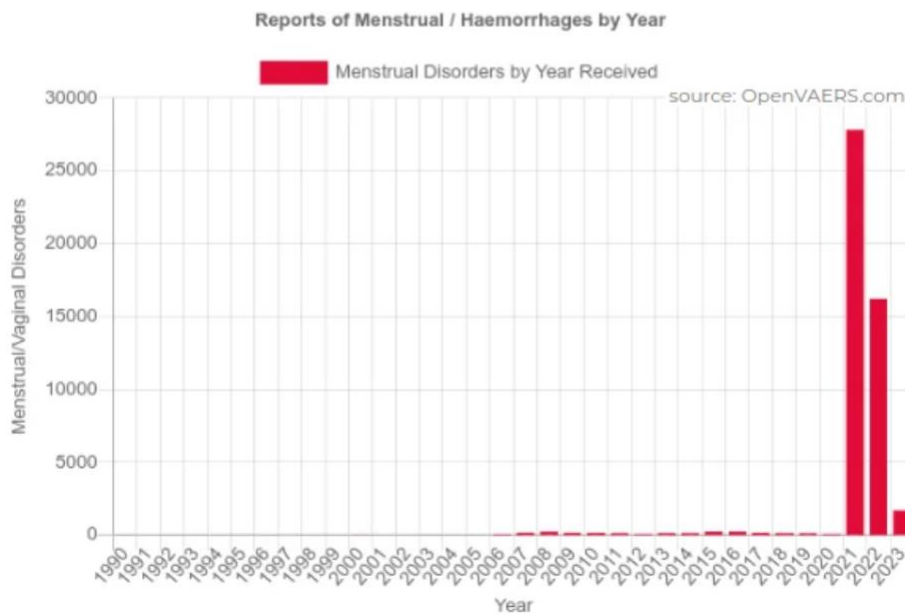
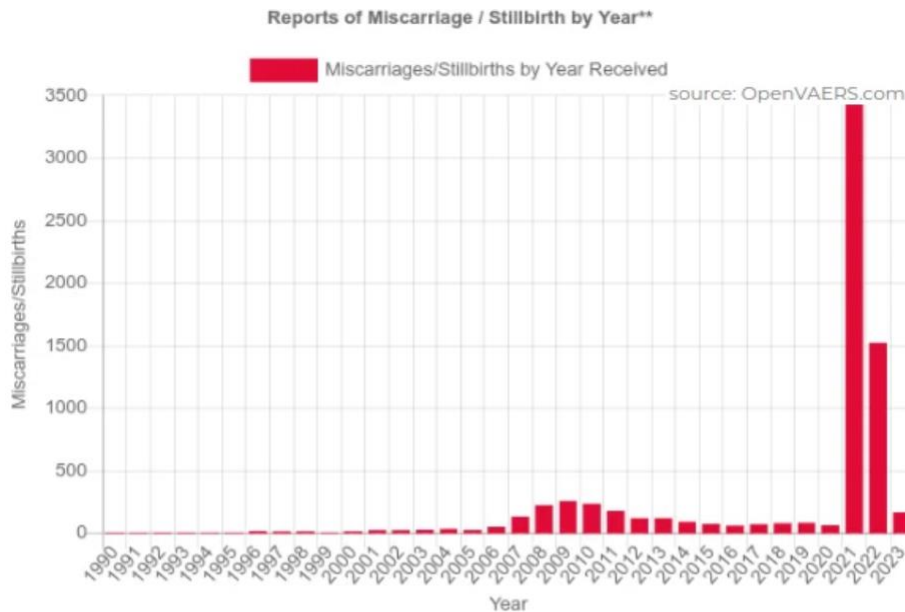
The investigations verified the physical-chemical composition of the vaccines considered according to the inorganic component as declared by the Producer. In detail, we verified the presence of saline and Aluminum salts, but further presence of micro-, sub-micro- and nanosized, inorganic, foreign bodies (ranging from 100nm to about ten microns) was identified in all cases, whose presence was not declared in the leaflets delivered in the package of the product (Table 2).

| N  | Company                             | Name              | Aluminum   | Elements Identified   |
|----|-------------------------------------|-------------------|--|---|
| 1  | Allergopharma - Germany             | Allergoid         | yes  | Al  |
| 2  | Aventis Pasteur MSD Lyon - France   | Typhim Vi         | no   | BrKp, PbSi, FeCr, PbClSiTi  |
| 3  | Baxter AG                           | Tetabulin         | no   | SiMg, Fe, SiTiAl, Sba, Zn   |
| 4  | Berna Biotech                       | Vivotif Berna     | no   | FeAl, ZrAlHf, SrAl, BiAlCl  |
| 5  | Berna Biotech                       | Inflexal V        | no   | CuSnPbZn, Fe, CaSiAl, SiAl, NaPZn, ZnP, AlSiTi  |
| 6  | Chiron                              | Anatetall         | Al(OH) <sub>3</sub>  | FeAl, SZnBaAl   |
| 7  | Chiron                              | Morupar           | no   | /   |
| 8  | GlaxoSmithKline- Belgium            | Mencevax ACWY     | no   | FeCrNi, ZrAl, FeCrNiZrAlSi  |
| 9  | GlaxoSmithKline                     | Infanrix          | Al(OH) <sub>3</sub>  | Al, AlTi, AlSi  |
| 10 | GlaxoSmithKline Biologicals         | Infanrix hexa     | Al(OH) <sub>3</sub>  | Sba, FeCu, SiAl, FeSi, CaMgSi, AlCaSi, Ti, Au, Sca, SiAlFeSnCuCrZn, CaAlSi              |
| 11 | GlaxoSmithKline Biologicals         | Infanrix hexa     | Al(OH) <sub>3</sub> , AlPO <sub>4</sub> ·2H <sub>2</sub> O | W, FeCrNi, Ti   |
| 12 | GlaxoSmithKline                     | Typherix          | no   | Ti, TiW, AlSiTiWCr, Sba, W, SiAl, AlSiTi  |
| 13 | GlaxoSmithKline                     | Priorix           | no   | WCa, WFeCu, SiAl, SiMg, PbFe, Ti, WNiFe   |
| 14 | GlaxoSmithKline                     | Engerix-B         | no   | Al (precipitates)   |
| 15 | GlaxoSmithKline                     | Varilrix          | no   | FeZn, FeSi, AlSiFe, SiAlTiFe, MgSi, Ti, Zr, Bi  |
| 16 | GlaxoSmithKline                     | Fluarix           | no   | AlCu, Fe, AlBi, Si, SiZn, AlCuFe, SiMg, Sba, AlCuBi, FeCrNi, SPZn                       |
| 17 | GlaxoSmithKline Biologicals         | Cervarix          | Al(OH) <sub>3</sub>  | AlSiFeAl, SiMg, CaSiAl, CaZn, FeAlSi, FeCr, CuSnPb                                      |
| 18 | Novartis Vaccines and Diagnostics   | Anatetall         | Al(OH) <sub>3</sub>  | Al, FeCrNi, AlCr, AlFe, BaS, ZnAl   |
| 19 | Novartis Vaccines and Diagnostics   | Dif-Tet-All       | Al(OH) <sub>3</sub>  | Fe, Sba, SiSba, AlZnCu, AlZnFeCr  |
| 20 | Novartis Vaccines and Diagnostics   | Menjugate kit     | Al(OH) <sub>3</sub>  | SiAl, Ti, FeZn, Fe, Sb, SiAlFeTi, W, Zr   |
| 21 | Novartis Vaccines and Diagnostics   | Focetria          | no   | Fe, FeCrNiCu, FeCrNi, SiFeCrNi, Cr, SiAlFe, AlSiTiFe, AlSi, SiMgFe, Si, FeZn            |
| 22 | Novartis                            | Agrippal S1       | no   | Ca, Fe, Sba, SbaZn, Cr, Si, Pb, Bi, e FeSiAlCr, SiAlSbaFe, CaAlSi, Zn, CeFeTiNi, FeCrNi |
| 23 | Novartis Vaccines and Diagnostics   | Agrippal S1       | no   | SiAlK, Si, SiMgFe, CaSiAl, SbaZn  |
| 24 | Novartis vaccines                   | Agrippal          | no   | Cr, Ca, SiCaAl, ZrSi, Sba, CuZn, Sca  |
| 25 | Novartis Vaccines and Diagnostics S | Fluad             | no   | CaSiAl, FeSiTi, SiMgAlFe, Sba   |
| 26 | Novartis Vaccines and Diagnostics   | Menveo            | no   | CaSiAl, SiAlFe, FeCrNi, Fe, Al, Sba   |
| 27 | Pfizer                              | Prenevar 13       | no   | FeCr  |
| 28 | Pfizer                              | Prevenar 13       | no   | W, CaAlSi, Al, CaSiAlFe, FeS, FeCr, FeCrNi, Fe, , CaP, FeTiMn, Ba, SiMgAlFe             |
| 29 | Pfizer                              | Meningitec - ctrl | no   | Cr, Si  |
| 30 | Pfizer                              | Meningitec - ctrl | no   | FeCrNi, W   |
| 31 | Pfizer                              | Meningitec        | no   | CaSiAl, CaSi, SiAlFeTi, FeCrNi, W, Fe, Pb   |
| 32 | Pfizer                              | Meningitec        | no   | Cr (precipitates), Ca, AlSi   |
| 33 | Pfizer                              | Meningitec        | no   | W, SiCa, CaSi, Pb, FeCrNi, Cr   |
| 34 | Wyeth Pharmaceutical - UK           | Meningitec        | no   | SiAlFe, SiAlTi, SiMgFe, W, Fe, Zr, Pb, Ca, Zn, FeCrNi                                   |
| 35 | Sanofi Pasteur MSD- France          | Vaxigrip          | no   | Fe, FeCrNi, SiAlFe, AlSi, SiAlFeCr  |
| 36 | Sanofi Pasteur MSD                  | Stamaril Pasteur  | no   | CaSiAl, AlSi, Fe, SiMgFe, SiMgAlFe, CrSiFeCr, CrSiCuFe                                  |
| 37 | Sanofi Pasteur MSD                  | Gardasil          | AlPO <sub>4</sub> ·2H <sub>2</sub> O                       | AlCuFe, PbBi, Pb, Bi, Fe  |
| 38 | Sanofi Pasteur MSD                  | Gardasil          | AlPO <sub>4</sub> ·2H <sub>2</sub> O                       | CaAlSi, AlSi, SiMgFe, AlFe, AlCuFe, FeSiAl, BiBaS, Ti, TiAlSi                           |
| 39 | Sanofi Pasteur                      | Vaxigrip          | no   | Ca, CrFe, FeCrNi, CaSZn, CaSiAlTiFe, Ag, Fe   |
| 40 | Sanofi Pasteur                      | Vaxigrip          | no   | SiMgFe, CaSiAl, AlSiFe, AlSi, FeCr, FeZn, Fe  |
| 41 | Sanofi Pasteur MSD                  | Repevax           | AlPO <sub>4</sub> ·2H <sub>2</sub> O                       | Bi, Fe, AlSiFe, SiMg, Sba, Ca   |
| 42 | Sanofi Pasteur MSD S                | Repevax           | AlPO <sub>4</sub> ·2H <sub>2</sub> O                       | Ti, Br, AuCuZn, Ca, SiZn, SiAuAgCu, SiMgFe, FeCrNi, AlSiMgTiMnCrFe, SiFeCrNi, FeAl      |
| 43 | Sanofi Pasteur MSD                  | M-M-R vaxPro      | no   | Si, SiFeCrNi, FeCrNi, FeNi, Fe, Sca, AlSiCa, CaAlSiFeV, Sba, Pt, PtAgBiFeCr             |
| 44 | Virbac S.A. - Carros - France       | Feligen CRP       | no   | Ca, SiAl  |

**Table 2:** List of the vaccines according to their manufacturers with the chemical composition of the debris identified in each sample. The elements most represented are reported.



[Un análisis más detallado](#) de los datos de VAERS revela que ciertos lotes de vacunas están generando un número significativamente mayor de informes de eventos adversos que otros lotes, lo que sugiere que la composición varía considerablemente entre los diferentes lotes de producción



Informes de aborto espontáneo/mortinatos por año (2023-07-04)

Fuente: <https://openvaers.com/covid-data/reproductive-health>

## AFM/AFP asociada a la vacuna

Posiblemente relacionado, [varios informes de los medios](#) aparecieron en los últimos años con respecto a las advertencias de los CDC en 2018 sobre posibles brotes de [mielitis flácida aguda](#) en niños pequeños. Aquí hay un extracto de la " [Transcripción de la teleinformación de los CDC: Actualización sobre la mielitis flácida aguda \(AFM\) en los EE. UU.](#) " de los CDC con fecha del 17 de octubre de 2018:

En este momento, sabemos que el poliovirus no es la causa de estos casos de AFM. Los CDC analizaron todas las muestras de heces de los pacientes con AFM, ninguna de las muestras dio positivo para el poliovirus. La AFM puede ser causada por otros virus, como el enterovirus y el virus del Nilo Occidental, toxinas ambientales y una condición en la que el sistema inmunitario del cuerpo ataca y destruye el tejido corporal que confunde con material extraño. Si bien sabemos que estos pueden causar AFM, no hemos podido encontrar una causa para la mayoría de estos casos de AFM. La razón por la que no sabemos acerca de la AFM, y me frustra que, a pesar de todos nuestros esfuerzos, no hayamos podido identificar la causa de esta misteriosa enfermedad.

– Dra. [Nancy Messonnier](#), Directora / [Centro Nacional de Inmunización y Enfermedades Respiratorias de los CDC](#)

Se han publicado varios artículos y estudios sobre casos de parálisis/mielitis flácida aguda asociada a la vacuna:

1. [“La parálisis inducida por la vacuna llama a la acción, dice un estudio”](#)
2. [“Parálisis flácida aguda asociada con el poliovirus circulante derivado de la vacuna—Filipinas, 2001”](#)
3. [“Poliomielitis paralítica asociada a la vacuna: un estudio de cohorte retrospectivo de parálisis flácidas agudas en Brasil”](#)
4. [“Poliomielitis paralítica asociada a la vacuna y otras enfermedades con síndrome de parálisis flácida aguda en Bielorrusia”](#)
5. [“Medición de la inmunidad a la poliomiélitis para planificar actividades de inmunización”](#)
6. [“Brotos de mielitis flácida aguda en los EE. UU.”](#)

Este fue el tema de discusión en esta entrevista con el Dr. Bryan Ardis.

## **Dr. Ardis With a Dire Warning!**

<https://rumble.com/vmrxdn-dr.-ardis-with-a-dire-warning.html>

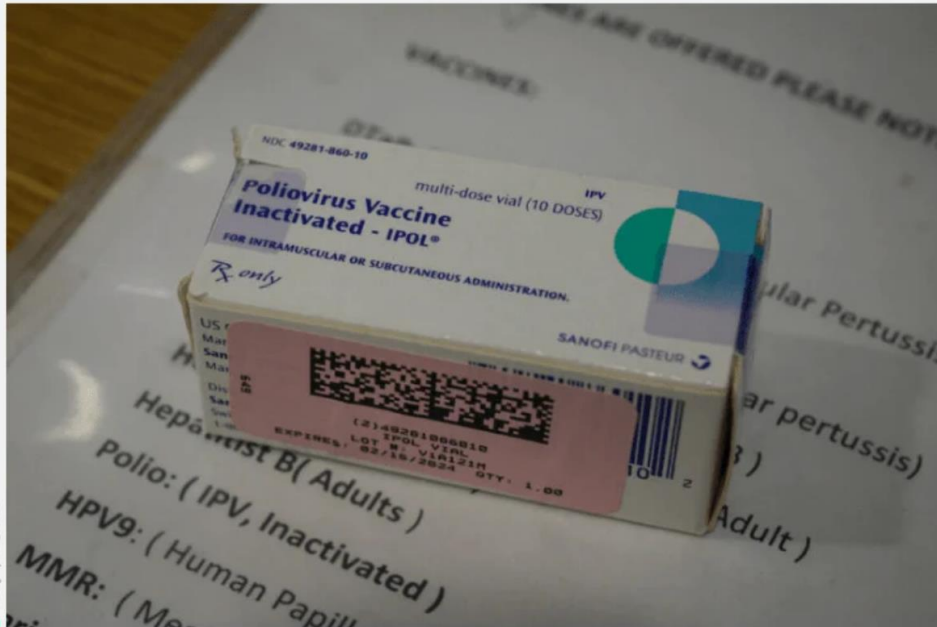
ACTUALIZACIÓN: 30 de agosto de 2022 – Aquí viene...

GROWING —

## Poliovirus outbreak expands in NY: Third county has vaccination rate of 62%

"One New Yorker paralyzed by polio is already too many," state health commissioner says.

BETH MOLE - 8/29/2022, 11:44 PM



Enlarge / A polio vaccine box is displayed at a health clinic in Brooklyn, New York on August 17, 2022.

A third county in New York with a low vaccination rate has detected poliovirus in its wastewater, suggesting that spread of the dangerous virus is expanding, which continues to pose a significant threat to anyone unvaccinated.

## Grandes farmacéuticas y China

Parecería que la mayoría de los gigantes de la biotecnología farmacéutica han estado profundamente entrelazados con sus homólogos chinos durante al menos 30 años.

Pfizer ha invertido más de 500 millones de dólares estadounidenses en China desde la década de 1980, GlaxoSmithKline (GSK) ha invertido más de 400 millones de dólares estadounidenses y AstraZeneca ha invertido más de 140 millones de dólares estadounidenses. AstraZeneca ha abierto un centro de ensayos clínicos en el este de Asia en Shanghái, Roche ha establecido su primer centro asiático de I+D en Shanghái, Eli Lilly también ha abierto una instalación de investigación y desarrollo (I+D) en Shanghái y Novo Nordisk tiene una instalación de I+D en Beijing Zhongguancun (ZGC) Parque de las Ciencias de la Vida. GSK y Pfizer también establecieron centros de I+D en China.

“Parques de biotecnología: China hacia el próximo futuro” (2011) – [https://www.asiabiootech.com/15/1503/0034\\_0039.pdf](https://www.asiabiootech.com/15/1503/0034_0039.pdf)

11 septiembre, 2021 :

“Ahora, gracias a los materiales publicados a través de una demanda de la Ley de Libertad de Información de The Intercept contra los Institutos Nacionales de Salud (que no fueron redactados lo suficiente como para arrojar a Fauci debajo del autobús), ahora sabemos que EcoHealth Alliance financiado por Fauci, un New York- sin fines de lucro con base encabezada por Peter Daszak, estaba absolutamente comprometida con la investigación de ganancia de función para hacer coronavirus quiméricos basados en SARS, que confirmaron que podrían infectar células humanas”.

<https://www.zerohedge.com/covid-19/massive-foia-release-proves-fauci-funded-wuhan-research-construct-sars-related>

<https://theintercept.com/2021/09/06/new-details-emerge-about-coronavirus-research-at-chinese-lab/>

23 de septiembre de 2021:

“Nuevos documentos muestran que solo 18 meses antes de que aparecieran los primeros casos de Covid-19, los investigadores [Peter Daszak] habían presentado planes para liberar nanopartículas que penetraran en la piel que contenían “nuevas proteínas de pico quiméricas” de coronavirus de murciélago en murciélagos de cueva en Yunnan, China.

“También planearon crear virus quiméricos, mejorados genéticamente para infectar a los humanos con mayor facilidad, y solicitaron 14 millones de dólares a la Agencia de Proyectos de Investigación Avanzada de Defensa (Darpa) para financiar el trabajo”.

<https://www.zerohedge.com/Political/wuhan-scientists-planned-release-chimeric-covid-spike-proteins-bat-populations-using-skin>

<https://drasticresearch.org/2021/09/21/the-defuse-project-documents/>

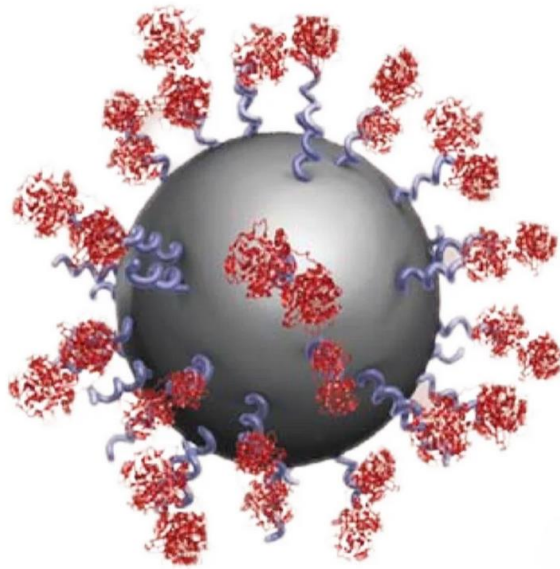
22 de octubre de 2021:

“NIH admite la financiación de experimentos COVID de ganancia de función; Otorga a EcoHealth cinco días para informar los datos”

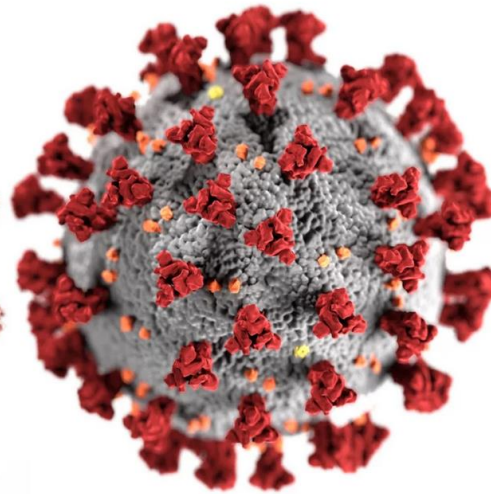
<https://www.zerohedge.com/covid-19/nih-admits-funding-gain-function-covid-experiments-gives-ecohealth-five-days-report>

*Las imágenes a continuación sirven para ilustrar la notable similitud visual entre la proteína corona de nanopartículas ( [fuente](#) ) y la proteína "spike" del "coronavirus" SARS-CoV-2 ( [fuente](#) ).*





Transferrin-functionalised  
silicon-oxide nanoparticle



"Coronavirus"  
SARS-CoV-2



**John McAfee** ✓  
@officialmcafee



---

## Videos relacionados

**EXCLUSIVE: Australian Whistleblower Scientists Provide Evidence of Nanotech & Graphene Oxide**

<https://rumble.com/vzjlyb-exclusive-australian-whistleblower-scientists-provide-evidence-of-nanotech-.html>

**Germs Debunked**

<https://rumble.com/vrukx3-germs-debunked.html>

**Project Veritas : COVID Vaccines Exposed - Part 1**

<https://rumble.com/vmtk8t-project-veritas-covid-vaccines-exposed-part-1.html>

**ABSOLUTE PROOF - COVID SHOTS CONTAIN LETHAL PARASITES, GRAPHENE OXIDE, STAINLESS STEEL = MURDER**

<https://rumble.com/vlvvs7-absolute-proof-covid-shots-contain-lethal-parasites-graphene-oxide-stainles.html>

**DEADLY SHOTS! Former Pfizer Employee Confirms Poison in COVID 'Vaccine'**

<https://rumble.com/vkgdq7-deadly-shots-former-pfizer-employee-confirms-poison-in-covid-vaccine.html>

**Dr. Robert Young: What's In COVID Shots, WHY Graphene, WHO is Responsible**

<https://rumble.com/vm7iyp-dr.-robert-young-whats-in-covid-shots-why-graphene-who-is-responsible.html>

## Material de referencia y lecturas adicionales

1. "La 'vacuna' de Pfizer contiene un 99 % de óxido de grafeno después de un análisis con microscopio electrónico": <https://stateofthenation.co/?p=71587>
2. "Óxido de grafeno en el cerebro": <https://www.materialstoday.com/carbon/news/graphene-oxide-on-the-brain>
3. "La toxicidad del grafeno causa miocarditis" (inflamación del corazón): <https://www.sciencedirect.com/science/article/pii/S2352940718302853>
4. "ZEN Graphene Solutions anuncia derechos exclusivos a nivel mundial para comercializar tecnología de prueba de antígeno COVID-19 rápida basada en saliva": <https://www.zengraphene.com/zen-graphene-solutions-announces-exclusive-worldwide-rights-to-commercialize-tecnología-de-prueba-de-antígeno-covid-19-rápida-basada-en-saliva/>
5. "Health Canada emite un aviso para mascarillas que contienen grafeno": <https://www.ctvnews.ca/health/health-canada-issues-advisory-for-face-masks-containing-graphene-1.5372822>
6. Patente: "Nanotubos de carbono liofilizados/filtro de cigarrillo modificado con óxido de grafeno..." – <https://www.sciencedirect.com/science/article/abs/pii/S1385894715007937>
7. Patente: "Un filtro de humo de tabaco basado en grafeno..." – <https://patents.google.com/patent/WO2017187453A1/en>
8. "Óxido de grafeno en el envasado de alimentos": <https://www.graphene.com/blogs/news/graphene-oxide-in-food-packaging>
9. "Toxicidad de las nanopartículas de la familia del grafeno: una revisión general de los orígenes y mecanismos": <https://particleandfibretoxicology.biomedcentral.com/articles/10.1186/s12989-016-0168-y> ( copia local )
10. "Características de radiofrecuencia del óxido de grafeno" – [https://www.researchgate.net/publication/234845171\\_Radio-frequency\\_characteristics\\_of\\_graphene\\_oxide](https://www.researchgate.net/publication/234845171_Radio-frequency_characteristics_of_graphene_oxide)
11. "La proteína 'Magneto' modificada genéticamente controla de forma remota el cerebro y el comportamiento" – <https://www.theguardian.com/science/neurophilosophy/2016/mar/24/magneto-remotely-controls-brain-and-behaviour>
12. "Nanohojas de grafeno encontradas en agua de lluvia" – <https://zerogoengineering.com/2021/graphene-nanosheets-found-in-rainwater/>
13. "Informe Hospital de Barbastro" – <https://nobulart.com/wordpress/wp-content/uploads/2021/09/Hospital-de-Barbastro-Huesca.pdf> ( copia local ) ( inglés )
14. "El desempeño biológico ex vivo e in vivo del óxido de grafeno y el impacto del surfactante en la biocompatibilidad del óxido de grafeno" – <https://www.sciencedirect.com/science/article/abs/pii/S1001074212602526>
15. "Eliminación de herbicidas 2,4-D, glifosato, trifluralina y butacloro del agua mediante membranas de polisulfona mezcladas con nanocompuestos de óxido de grafeno/TiO<sub>2</sub>: estudio de filtración y adsorción por lotes" – <https://www.ncbi.nlm.nih.gov/pmc/articles/PMC6582012/>
16. "Nanotecnología: herramientas emergentes para la biología y la medicina" – <https://www.ncbi.nlm.nih.gov/pmc/articles/PMC3841729/>
17. "El óxido de grafeno toca la sangre: interacciones in vivo de materiales 2D biocoronados" – <https://pubs.rsc.org/en/content/articlehtml/2019/nh/c8nh00318a>
18. "Toxicidad de nanopartículas de óxido de grafeno en dosis bajas en un modelo de tipo salvaje de Caenorhabditis elegans in vivo" – <https://aaqr.org/articles/aaqr-20-09-0a-0559>
19. "Vacuna recombinante de nano coronavirus que toma óxido de grafeno como portador" – <https://patents.google.com/patent/CN112220919A/en>

20. "Cómo INBRAIN Neuroelectronics desarrolla implantes neurales basados en grafeno" – <https://www.medicaldevice-network.com/features/inbrain-neuroelectronics-graphene/>
21. "Se ha demostrado que las vacunas contra el COVID-19 de EE. UU. causan más daño que bien según los datos de ensayos clínicos fundamentales analizados utilizando el punto final científico adecuado, todas las causas causan morbilidad grave" – <https://www.scivisionpub.com/pdfs/us-covid19-vaccines- demostrado-que-causa-más-daño-que-beneficio-basado-en-datos-de-ensayos-clínicos-pivotaes-analizados-usando-el-apropiado-científico-1811.pdf>
22. "Moderna dice que las vacunas COVID enviadas a Japón contenían partículas de acero inoxidable" – <https://japantoday.com/category/national/moderna-says-tainted-covid-vaccines-sent-to-japan-contained-steel>
23. "HCG encontrado en la vacuna contra el tétanos de la OMS en Kenia genera preocupación en el mundo en desarrollo" – <https://www.scirp.org/journal/paperinformation.aspx?paperid=81838>
24. "La vacuna contra el tétanos puede estar mezclada con un medicamento contra la fertilidad" – <https://pubmed.ncbi.nlm.nih.gov/12346214/>
25. "Vacunas contra la fertilidad" – <https://pubmed.ncbi.nlm.nih.gov/2665354/>
26. "Parques de biotecnología: China hacia el próximo futuro" (2011) – [https://www.asiabioitech.com/15/1503/0034\\_0039.pdf](https://www.asiabioitech.com/15/1503/0034_0039.pdf)
27. "¿Los casos raros de miocarditis están relacionados con las vacunas Pfizer, Moderna Covid-19?" – <https://www.forbes.com/sites/brucelee/2021/04/27/are-rare-cases-of-myocarditis-linked-to-pfizer-moderna-covid-19-vaccines/>
28. "Infección experimental por Trypanosoma Cruzi y COVID-19: ¿Síndrome cardiovascular similar?" – <https://biomedgrid.com/pdf/AJBSR.MS.ID.001832.pdf>
29. "Ya hemos escuchado que el tratamiento no hace nada, entonces, ¿por qué deberíamos tomarlo? Una perspectiva de método mixto sobre el conocimiento, las actitudes, la prevención y el tratamiento de la enfermedad de Chagas en el Chaco boliviano" – <https://journals.plos.org/plosntds/article?id=10.1371/journal.pntd.0008752>
30. "Efecto de la ivermectina en Trypanosoma brucei en ratones infectados experimentalmente" – <https://pubmed.ncbi.nlm.nih.gov/23135008/>
31. "Los documentos del PROYECTO DEFUSE [DARPA]" – <https://drasticresearch.org/2021/09/21/the-defuse-project-documents/>
32. "Trombosis y trombocitopenia después de la vacunación con ChAdOx1 nCoV-19" – <https://www.nejm.org/doi/full/10.1056/NEJMoa2104882>
33. "Miocarditis que ocurre después de la inmunización con vacunas COVID-19 basadas en ARNm" – <https://jamanetwork.com/journals/jamacardiology/fullarticle/2781600>
34. "Informes de casos de EE. UU. de trombosis del seno venoso cerebral con trombocitopenia después de la vacunación con Ad26.COV2.S" – <https://jamanetwork.com/journals/jama/fullarticle/2779731>
35. "Advierto a las personas vacunadas que eviten las resonancias magnéticas, especialmente durante las primeras semanas, ya que algunas personas se han visto gravemente afectadas por el electromagnetismo que produce. Los casos más graves han resultado en la muerte de los pacientes. Nadie está reportando a VAERS". – <https://twitter.com/DRAFZALNIAZ2/status/1440775597123248135>
36. "Se ha encontrado óxido de grafeno en el vial de vacunación Vaxigrip Tetra" – <https://www.orwell.city/2021/07/graphene-oxide-found-in-vaxigrip-tetra-vaccination-vial.html>
37. "Nuevas investigaciones de control de calidad sobre vacunas: micro y nanocontaminación": <https://medcraveonline.com/IJVV/new-quality-control-investigations-on-vaccines-micro-and-nanocontamination.html>
38. "Partículas de metal en muchas vacunas; pero no se preocupen, formen fila y tomen sus inyecciones como pequeños robots felices" – <https://blog.nomorefakenews.com/2021/09/15/metal-particles-in-many-vaccines-but-dont-worry-alinearse-y-tomar-tus-fotos/>
39. "DETECCIÓN DE GRAFENO EN VACUNAS COVID19" – [https://www.researchgate.net/publication/355979001\\_DETECTION\\_OF\\_GRAPHENE\\_IN\\_COVID19\\_VACCINES](https://www.researchgate.net/publication/355979001_DETECTION_OF_GRAPHENE_IN_COVID19_VACCINES)
40. "El 100 % de las muertes por la vacuna Covid-19 fueron causadas por solo el 5 % de los lotes producidos según datos oficiales del gobierno" – <https://theexpose.uk/2021/10/31/100-percent-of-covid-19- muertes-por-vacunas-causadas-por-solo-5-por-ciento-de-los-lotes-producidos>
41. "Uh, eso no es una teoría de la conspiración: el 5 % de los lotes de producción de vacunas causaron el 100 % de las muertes por vacunas": <https://vulms.org/uh-thats-not-a-conspiracy-theory-5-of-vaccine-production -muchas-causaron-100-de-muertes-vacunas/>

42. “Impresión inmunitaria, amplitud del reconocimiento de variantes y respuesta del centro germinal en la infección y vacunación humana por SARS-CoV-2” – [https://www.cell.com/cell/fulltext/S0092-8674\(22\)00076-9](https://www.cell.com/cell/fulltext/S0092-8674(22)00076-9)
43. “UK Lab encuentra grafeno en vacunas C19” – <https://www.notonthebeeb.co.uk/post/uk-lab-finds-graphene-in-vaccine-vials>
44. “Progreso reciente del óxido de grafeno como potencial portador y adyuvante de vacunas” – <https://pubmed.ncbi.nlm.nih.gov/32531395/>
45. “Impresión inmunitaria, amplitud del reconocimiento de variantes y respuesta del centro germinal en la infección y vacunación humana por SARS-CoV-2” – [https://www.cell.com/cell/fulltext/S0092-8674\(22\)00076-9](https://www.cell.com/cell/fulltext/S0092-8674(22)00076-9)